

Електронна установка для вимірювання функцій розподілу часових інтервалів електроенцефалограми

Є. Я. Войтинський і В. О. Прянишников

Ленінградський науково-дослідний інститут дитячих інфекцій

Тепер прийнято розглядати електроенцефалограму як стаціонарний випадковий процес [2], оцінка якого проводиться за допомогою функцій і моментів розподілу різного порядку [4]. Цінна інформація про характер ЕЕГ може бути одержана шляхом вимірювання одномірних функцій розподілу часових інтервалів, тобто часу між точками перетину осі сигналом [3].

Як показують праці ряду авторів [1, 6, 11, 12], цей метод може бути успішно використаний як в експериментальній, так і в клінічній електроенцефалографії. Проте широкому застосуванню методу перешкоджає нестача вимірювальних приладів. Використання для цієї мети складних і високої вартості універсальних цифрових обчислювальних машин, а також аналізаторів, призначених для фізичних досліджень (типу А1-100, А1-256 тощо) нерациональне.

В цій статті наведено опис електронної установки, спеціально розробленої для вимірювання одномірних функцій розподілу часових інтервалів ЕЕГ. Установка дозволяє визначити цифровим способом щільність імовірності $\varphi(\tau)$ коливань біопотенціалу частотою 1—50 гц. Вимірювання можна провадити на 20 рівнях, які лежать на нульовій лінії ЕЕГ, вище і нижче.

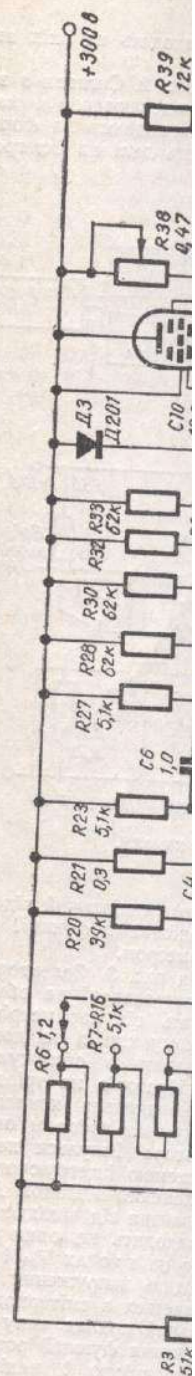
Питання теорії вимірювання функцій розподілу часових інтервалів на кількох рівнях аналізу розглянуті в ряді праць [5, 10, 13]. Цей метод дозволяє одержати інформацію про проведення в часі випадкового процесу в усьому динамічному діапазоні. При цьому практично виявляється достатнім використання 15+20 рівнів аналізу [8].

Електронна установка. Електронна аналізуюча установка складається з двох блоків — перетворювача час — амплітуда і 20-канального аналізатора імпульсів на транзисторах.

Принципова схема перетворювача наведена на рис. 1. Сигнал ЕЕГ подають на вхід фазоінвертора або катодного повторювача в залежності від того, яку з частин ЕЕГ (верхню або нижню у відношенні до осі X) треба проаналізувати. Фазоінвертор зібраний на лампі Л₁ 6НЗП, катодний повторювач — на лівій половині лампи Л₂ типу 6Н1П. Далі сигнал надходить на селектор рівня, який складається з перемикача R₇+R₁₆ і діода Д₁ типу Д103. Селектор рівня пропускає тільки верхні імпульси, відсікаючи сигнал по основі. Рівень відсічення встановлюється перемикачем R₇+R₁₆. З селектора рівня сигнал надходить через ємність С₄ на вхід тригера Шмідта. З тригера знімається сигнал, тривалість якого пропорційна тривалості імпульсу ЕЕГ на обраному рівні аналізу.

З лівого анода лампи Л₃ типу 6Н1П негативний сигнал прямокутної форми надходить на вхід генератора пилоподібної напруги, амплітуда якої пропорційна тривалості прямокутного імпульсу і, отже, деякому інтервалу в ЕЕГ. Для того, щоб ці імпульси могли бути подані на вхід аналізатора, паралельно ємності С₁₁ включається тиратрон Л₇ типу ТГ1Б, замкнений в нормальному режимі негативним зміщенням на сітці. Імпульс позитивної полярності, який знімають з правого анода тригера Шмідта, диференціюється ланцюжком, що складається з ємності С₇ і входного ланцюга підсилювача, побудованого на лівій половині лампи Л₄ типу 6Н1П. З виходу підсилювача знімають два ряди імпульсів. Перший з них — від'ємної полярності — відповідає передньому фронту прямокутного імпульсу і, отже, початку генерування пилоподібного імпульсу.

Другий ряд імпульсів — позитивної полярності — відповідає задньому фронту прямокутного імпульсу і, отже, закінченню генерування пилоподібного імпульсу. Подібність імпульсів подають на сітку тиратрону ТГ1Б. З індуктивності L₁, включе-



оділу

надковий
шляхом
точ-

успішно
Проте
Вини
обчи-
свіджень

ної для
ка доз-
випотен-
лежать

кількох
кати ін-
діана-
ана-

дається
пульсів

ють на
частин
вертор
типу
емника
пульсів,
R₇+R₁₆
3 три-
ЕЕГ

ми над-
двальна
го, щоб
включа-
аміщен-
тригера
го лан-
виходу
ності —
ування

фронту
су. По-
включе-

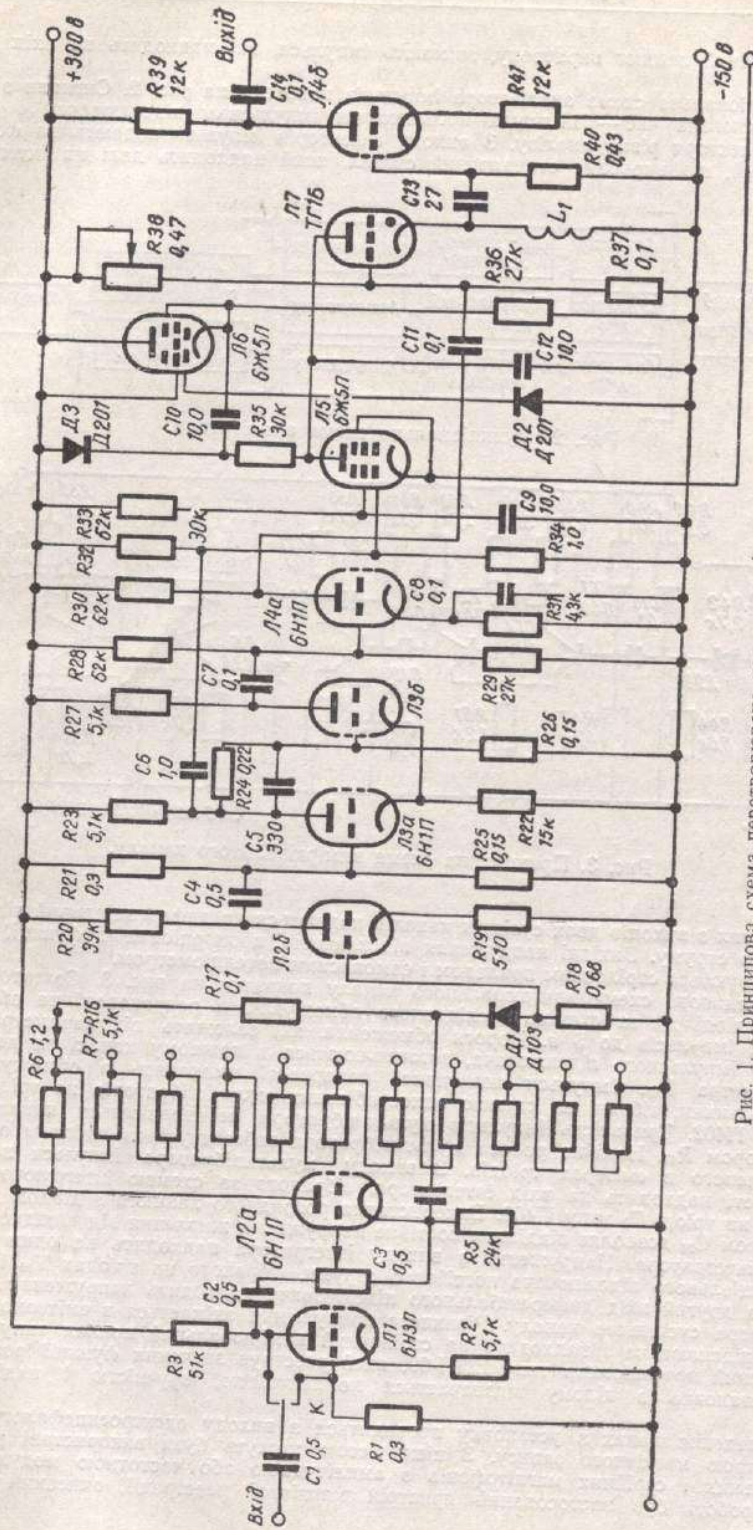


Рис. 1. Принципова схема перетворювача час — амплітуда.

ної в катодний ланцюг тиратрону, знімають імпульси, які надходять на вхід аналізатора.

Функціональна схема аналізатора імпульсів наведена на рис. 2. Сигнали з виходу перетворювача час—амплітуда посилюються імпульсним підсилювачем і надходять на селектори рівня аналізу. З виходу селекторів імпульси подають на формувальний пристрій, що виробляє стандартний сигнал, який надходить далі на інтегратор.

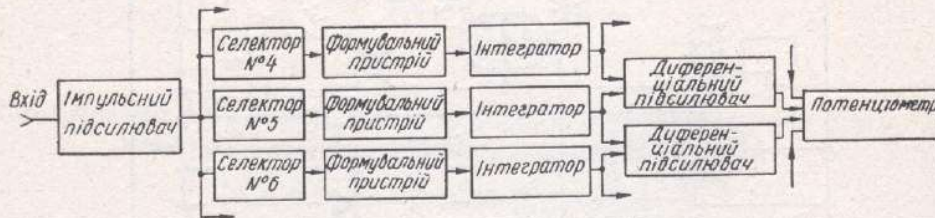


Рис. 2. Функціональна схема аналізатора.

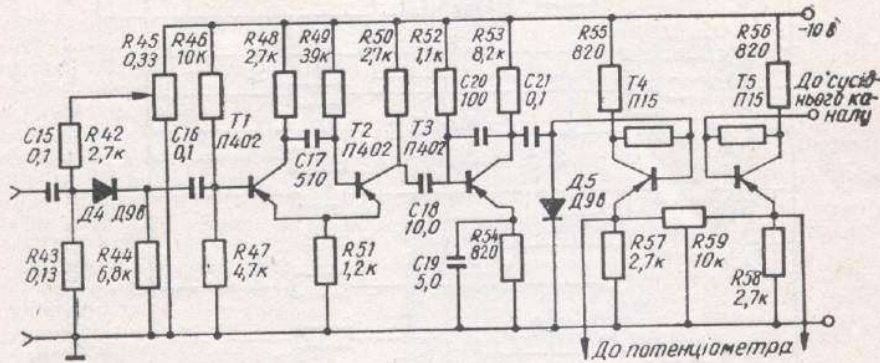


Рис. 3. Принципова схема вимірювального каналу.

Напруження з виходів двох сусідніх каналів подаються на диференціальний підсилювач постійного струму. Вихідні напруження підсилювача, пропорційальні функції розподілу, реєструються стрілочним приладом і самописним потенціометром.

Принципова схема вимірювального каналу показана на рис. 3. Селектори виконані на діоді D_4 за схемою послідовного обмежувача і розраховані на обмеження амплітуд імпульсів до 5 в. Пороги обмеження, які залежать від параметрів застосованого імпульсного підсилювача, встановлюються в кожному каналі за допомогою потенціометра R_{45} . Імпульси позитивної полярності надходять з обмежувачів на формувальники, зібрані за схемою одностабільних мультівібраторів на триодах T_7 і T_8 типу П402. Тривалість імпульсів мультівібратора встановлюється конденсатором C_{17} і опором R_{49} . Надійна робота мультівібратора забезпечується добром опором R_{51} , встановленого в емітерах триодів. З виходу мультівібратора імпульси негативної полярності надходять на вхід інтегратора, зібраного за схемою інтегруючого підсилювача на триоді T_9 типу П402. Використання розрядного ланцюга з діодом D_5 і конденсатором C_{21} дозволяє відділяти постійне напруження живлення від вихідного напруження інтегратора. Напруження з виходу інтегратора надходять на один з входів диференціального підсилювача постійного струму, зібраного на триодах T_{10} і T_{11} типу П15. На другий вхід диференціального підсилювача надходить напруження з виходу інтегратора сусіднього каналу. Різницеве напруження знімається з емітерного напруження підсилювача і надходить на стрілочний вимірювальний прилад типу М-266 і самописний потенціометр типу ЕПП-09, який реєструє значення функції розподілу.

Установка в цілому відзначається компактністю, зручністю і надійністю в роботі.

Введення даних в установку провадиться з виходу електроенцефалографа або з пристрою магнітного запису. З цієї метою можуть бути використані різні типи спеціальних і серійних магнітофонів з амплітудною або частотною модуляцією [7]. В цій роботі був застосований пристрій магнітної реєстрації, описаний Стасюнасом [9].

Для калібрування функції розподілу частоти ГНЧ-1 і випадкових квадратична похибка розподілу, які визначили.

Далі, за допомогою часових інтервалів електричними мозку, епілептиками сували на папір (швидкість 30 мм/сек) і магнітну ленту (швидкість 380 мм/сек), яку потім вимірювали. Тривалість відрізків ЕЕГ становила $T=2$ мс. Вони мали різну фонову активність альфа-ритму, переважно дизритмію коливань та

Рис. 4. Відрізки ЕЕГ здорових людей (а) і хворого на епілепсію (б). По осі абсцис — час, по осі ординат — значення щільності вольтажності.

На графіку по осі абсцис — значення часових інтервалів (від 0,2 до 0,8 сек), по осі ординат — значення щільності вольтажності.

Як приклад, на рис. 4 наведені відрізки ЕЕГ (досліджувані на нульовому рівні), зібрані у здорових людей (а) і хворого на епілепсію (б). З рисунка видно значні відмінності в амплітуді та частоті сигналів.

Дані, одержані у дослідженні функції розподілу, наведені в таблиці 1. Дані, одержані у дослідженні функції розподілу, наведені в таблиці 1.

Запропонований метод дослідження функції розподілу час—амплітуда дозволяє отримувати статистичні характеристики функції розподілу час—амплітуда.

Дослідження функції розподілу час—амплітуда дозволяє отримувати статистичні характеристики функції розподілу час—амплітуда.

Запропонований метод дослідження функції розподілу час—амплітуда дозволяє отримувати статистичні характеристики функції розподілу час—амплітуда.

1. Акишина Н. И., «периодов» ЭЭГ чело докл. семинара «Развитие психологии и медицины, Изд. 1966, в. 1.
2. Винер Н. — Нелинейная теория колебаний, М., 1958.
3. Войтинский Е. Я., «Математическая психология», М., 1966, в. 1.
4. Крамер Г. — Математическая статистика, М., 1954, 24, 102.
5. Кузнецов П. И., «Физиология», М., 1954, 24, 102.
6. Лисицин С. К., Методы приборостроения для исследования функций мозга, М., 1966.

Експериментальні дані

Для калібрування і перевірки роботи установки було проведено вимірювання функцій розподілу часових інтервалів синусоїдальних сигналів від генератора типу ГНЧ-1 і випадкових сигналів від генератора інфранизькочастотного шуму. Середньоквадратична похибка щільності імовірності не перевищила 5%. Інтегральні функції розподілу, які визначили графічним способом [4], мали точність $\pm 3\%$.

Далі, за допомогою описаної вище установки вимірювали функції розподілу часових інтервалів електроенцефалограм здорових осіб і хворих з травмами і пухлинами мозку, епілепсією та маніакально-депресивним психозом. ЕЕГ одночасно записували на папір (швидкість запису становила 30 мм/сек) і магнітну плівку (з швидкістю 380 мм/сек), яку потім вводили в установку. Тривалість відрізків ЕЕГ, які піддавали аналізу, становила $T=2$ хв. Електроенцефалограми мали різну фонову активність: домінуючий альфа-ритм, переважаючу повільну активність, дизритмію коливань тощо.

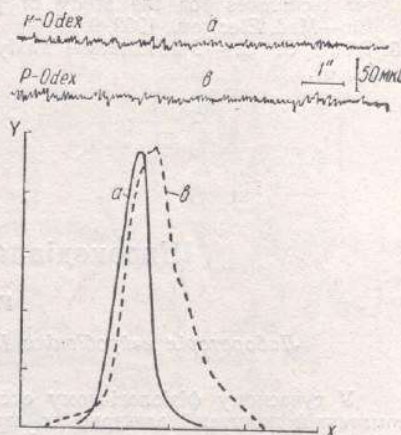


Рис. 4. Відрізки ЕЕГ і графіки функцій розподілу часових інтервалів здорової дослідженої людини (а) і хворого з травмою головного мозку (б).

На графіку по осі абсцис відкладені тривалості часових інтервалів (від 0,2 до 0,05 сек), по осі ординат — значення щільності імовірності часових інтервалів.

Як приклад, на рис. 4 наведені графіки щільності імовірності часових інтервалів (досліджувані на нульовому рівні) — двох схожих за зовнішнім виглядом ЕЕГ, одержаних у здорового дослідженого (а) та у хворого з травмою головного мозку (б). З рисунка видно значні відмінності кривих розподілу, причому при травмі мозку спостерігається більша асиметрія і зрушення в напрямку більш високих частот.

Дані, одержані у групи досліджених, показують, що є деяка позитивна кореляція між типом ЕЕГ і параметрами розподілу, зокрема між знаком і величиною асиметрії. При цьому істотне значення має, що функції розподілу ЕЕГ навіть з невеликими патологічними змінами нерідко відрізняються від нормальних показників, що дає можливість використати їх в діагностичних цілях.

Запропонований метод аналізу та установка придатні для розв'язання широкого кола завдань в експериментальній і клінічній електроенцефалографії. За їх допомогою можна вивчати індивідуальні особливості електроенцефалограм, зміни, викликані різними впливами і фармакоагентами, а також можна виділювати та оцінювати тонкі патологічні зрушення на ЕЕГ.

Дослідження функцій розподілу часових інтервалів ЕЕГ на різних рівнях аналізу перебувають у початковій стадії розвитку в зв'язку з відсутністю необхідної апаратури. Запропонована установка зможе заповнити цю прогалину. Як показують наші попередні дослідження [3], такий метод аналізу дає додаткову інформацію про часові статистичні характеристики електроенцефалограм.

Література

1. Акишина Н. И., Лисицин С. К. — Плотность распределения амплитуд и «периодов» ЭЭГ человека при нарушении деятельности эндокринных желез. Тезисы докл. семинара «Развитие физиол. приборостроения для научн. исследований в биологии и медицине», Изд-во АН СССР, М., 1966.
2. Винер Н. — Нелинейные задачи в теории случайных процессов. ИИЛ, М., 1961.
3. Войтинский Е. Я., Прянишников В. А. — Сб. «Радиоэлектроника в медицине», М., 1966, в. I.
4. Крамер Г. — Математические методы статистики. ИИЛ, М., 1948.
5. Кузнецов П. И., Стратанович Р. Л., Тихонов В. И. — Журн. техн. физики, 1954, 24, 102.
6. Лисицин С. К., Маркова Е. В. — Тезисы докл. семинара «Развитие физиол. приборостроения для научн. исследований в биологии и медицине». АН СССР, М., 1966.